

# Observation of vacancies during Zn and Cu diffusion in GaP & GaAs



# Sample conditions

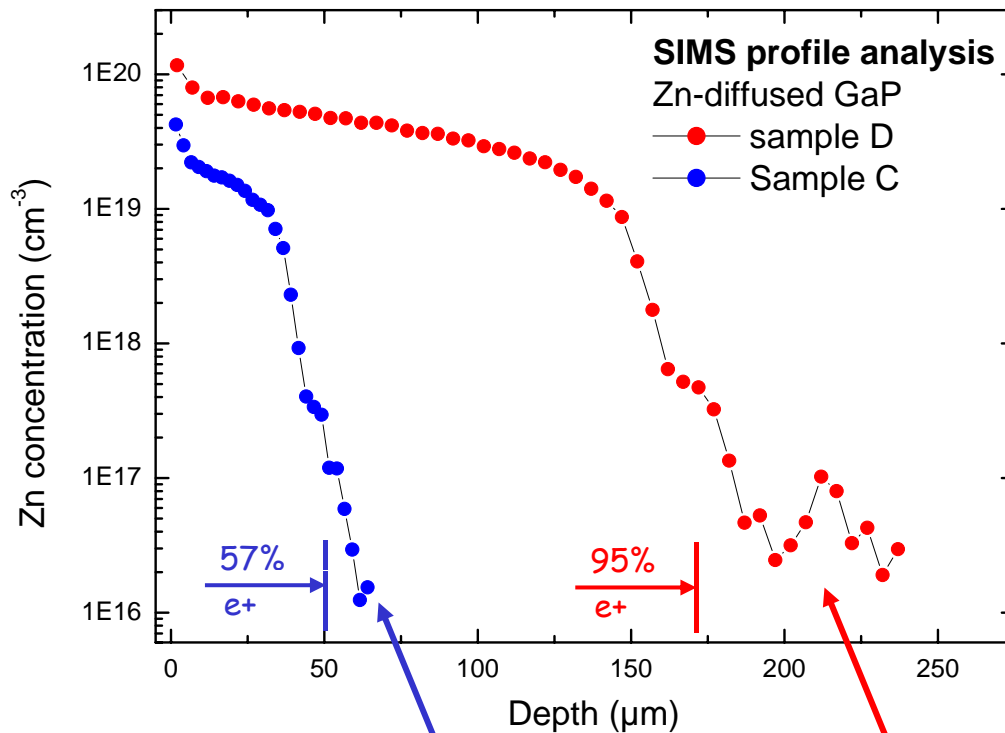
Experiment	sample	treatment	remarks
Reference	A	as-grown GaP reference sample	negligible low dislocation density, no extended defects
	B	Reference annealing: 95.1 h at 907°C	defined P vapor pressure, but no Zn in ampoule
Diffusion experiments	C	Zn diffusion annealing: 95.1 h at 907°C	defined P vapor pressure, Zn vapor pressure obtained by adding <u>GaP:Zn</u> to the ampoule
	D	Zn Diffusion annealing: 95.1 h at 907°C	defined P vapor pressure, Zn was added as an elementary powder to the ampoule

- Samples were quenched to RT water during diffusion
- Main difference of diffusion experiments: Zn vapor pressure varies due to different Zn source
- Diffusion profiles are distinctly different



# Zn diffusion profiles by SIMS

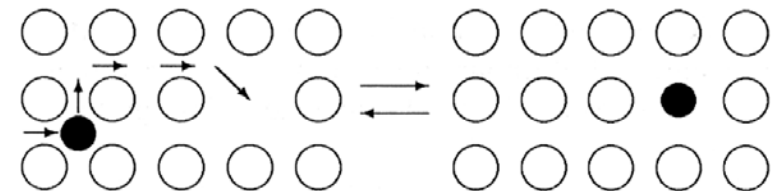
- Zn diffusion profiles obtained by SIMS at beveled samples (wedge angle 6°)



Zn source: GaP:Zn sample Zn powder

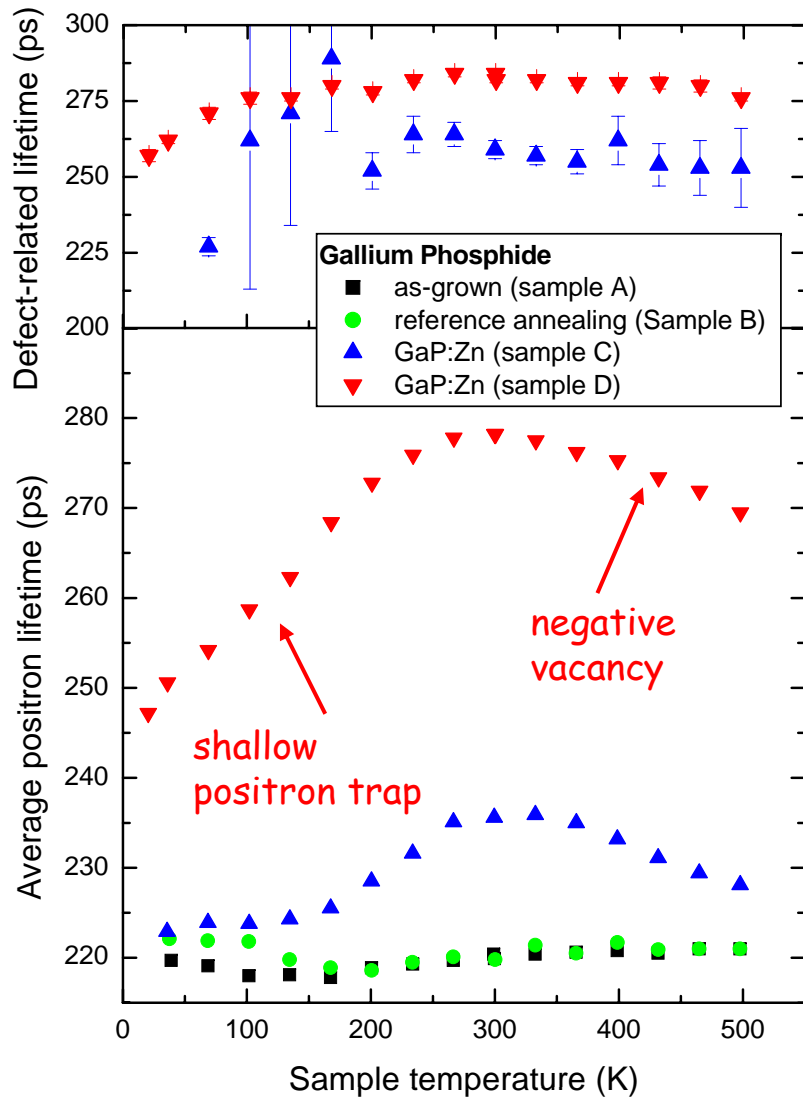
Diffusion annealing: 95h at 907°C in quartz ampoule

- expected diffusion model: interstitial-substitutional mechanism (Frank-Turnbull mechanism)
- $I_{Ga}$  and  $V_{Ga}$  shall be involved (J. Poepping et.al, ICDS-21)
- $Zn_I + V_{Ga} \leftrightarrow Zn_{Ga}$



Interstitial-substitutional exchange mechanisms of foreign atom diffusion

# Positron lifetime results



- both reference samples: no trapping
- defect-related lifetime:  $\tau_V = 282$  ps
- distinct vacancy signal only after  $7n$

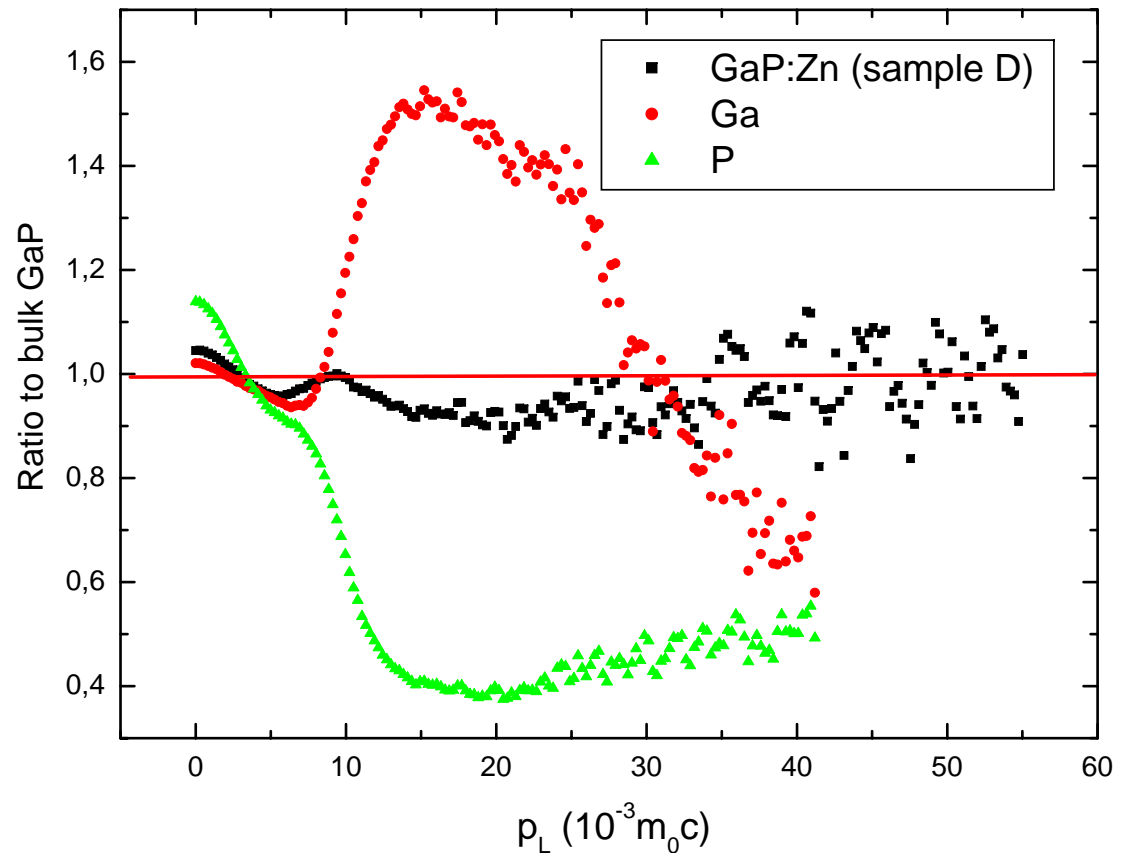
Defect	e <sup>+</sup> lifetime in ps	remarks
GaP bulk	220	
V <sub>Ga</sub>	258	unrelaxed
	270	3.8% outward relaxation
V <sub>P</sub>	244	unrelaxed
	271	6.1% outward relaxation
V <sub>P-Zn<sub>Ga</sub></sub>	274	6.1% outward relaxation
V <sub>P-V<sub>Ga</sub></sub>	307	unrelaxed

- taking into account the relaxation
- from lifetime: no decision between V<sub>Ga</sub> and V<sub>P</sub>



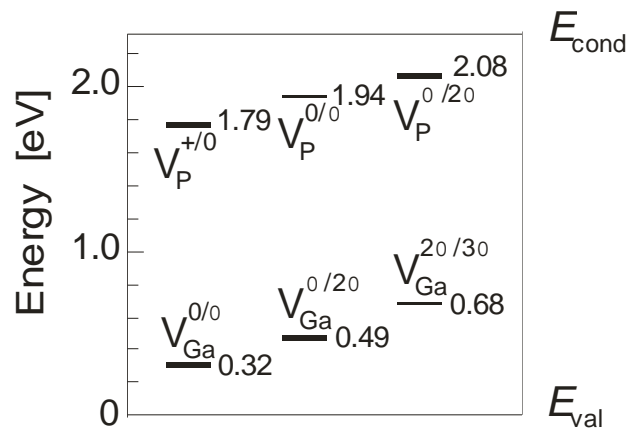
# Doppler Coincidence Experiments

- DBCS was used to study the chemical environment of the detected mono-vacancy
- surprise: although complete trapping  $\rightarrow$  high-momentum Doppler spectrum close to reference sample
- comparison with theoretically calculated spectra required



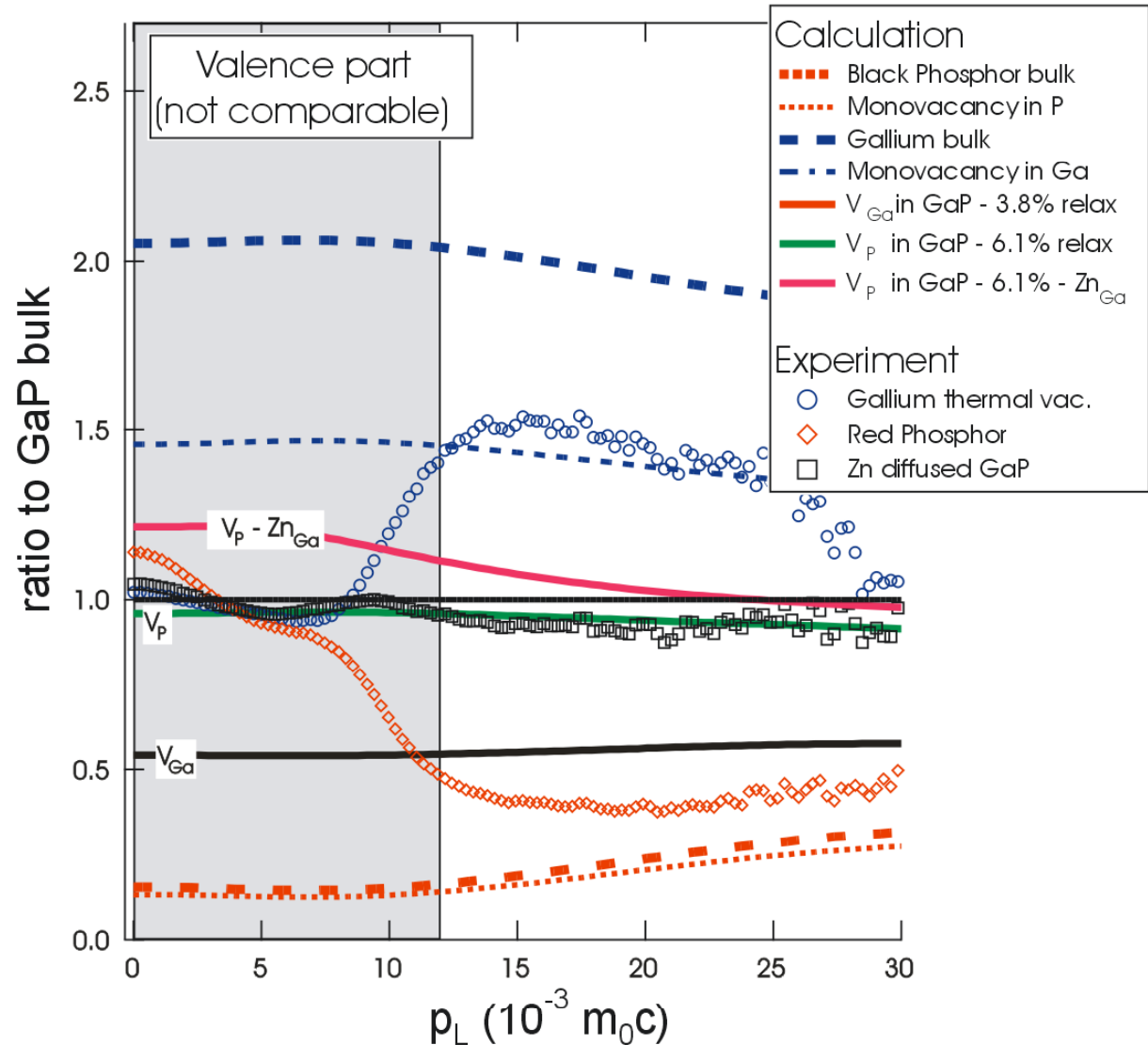
# Doppler Coincidence Experiments

- calculations agree well for Ga and P
- $V_{Ga}$  is close to P data, while  $V_P$  is very close to the bulk behavior
- conclusion: we detected  $V_P$



(M. Puska, J. Phys. Cond. Mat. 1989)

- however:  $V_P$  should be positive in p-type GaP
- we detect probably  $V_P-Zn_{Ga}$

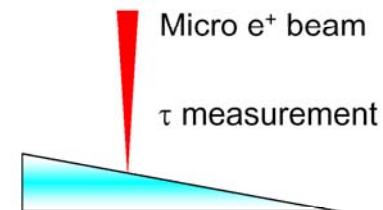


# GaP:Zn - Conclusions

- During Zn in-diffusion: vacancies are formed
- concentration is much higher than thermal vacancies
- Vacancy is located in P sublattice
- $V_p$  should be positive  $\rightarrow$  thus a defect complex is most probably observed
- best candidate:  $V_p\text{-Zn}_{\text{Ga}}$

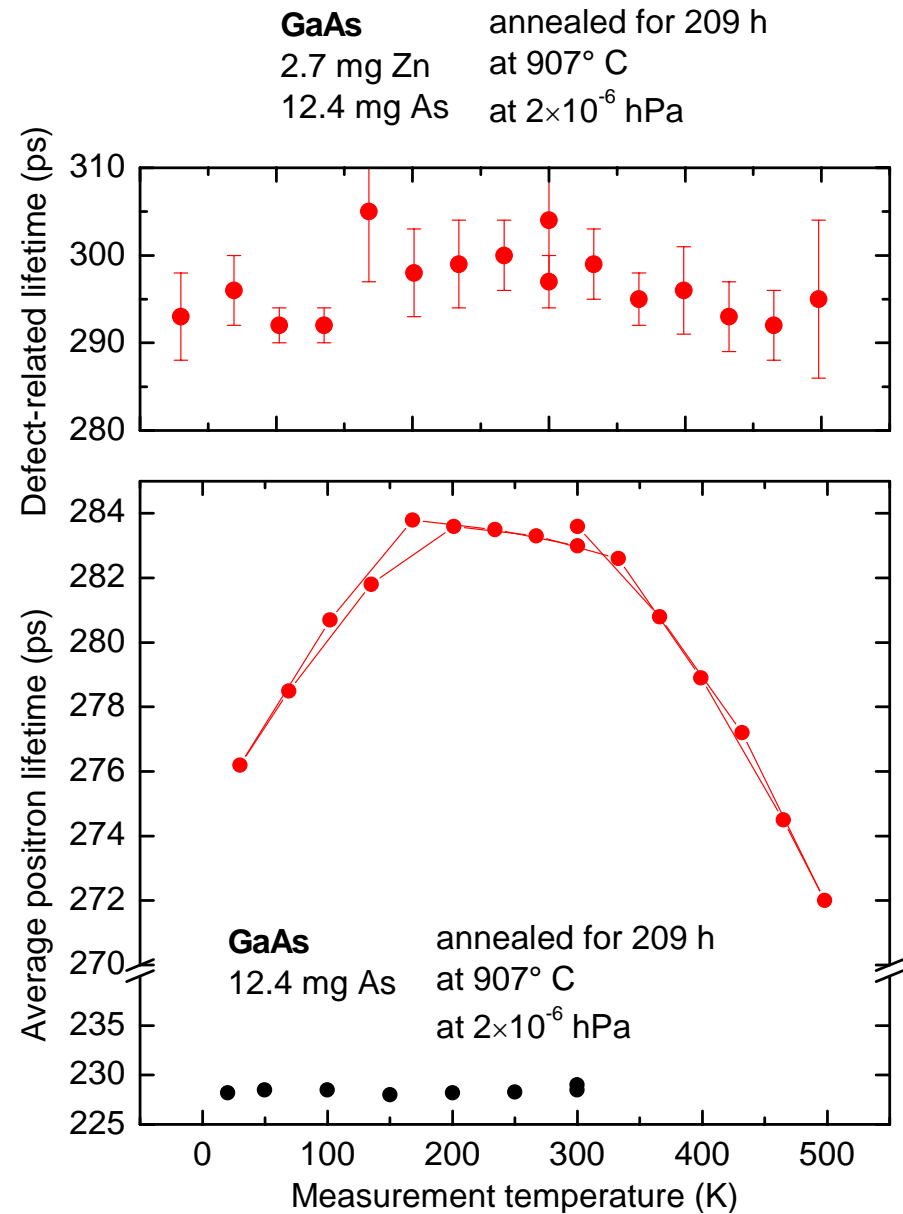
planned experiment:

- comparison of vacancy depth profile with Zn-diffusion profile
- we will use Munich Microbeam and the beveled SIMS samples



# Zn-diffusion in GaAs

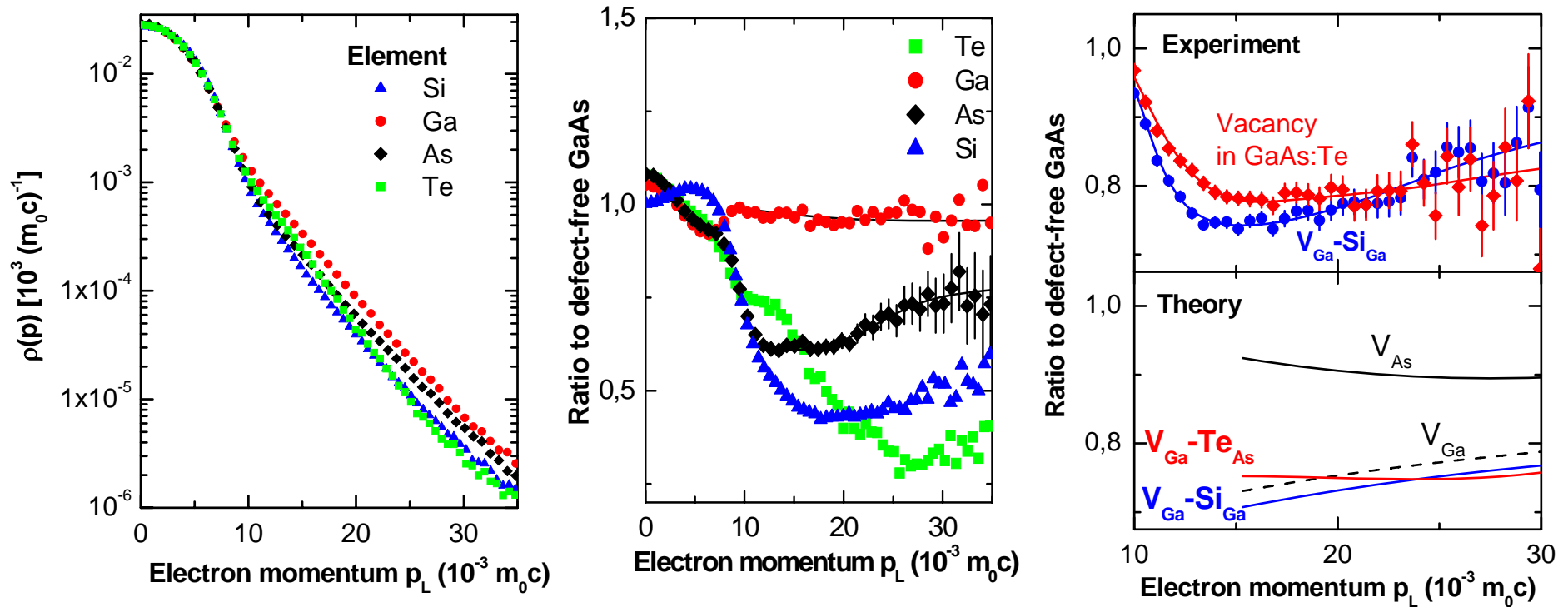
- During Zn in-diffusion: vacancies are formed
- Effect is rather strong
- almost saturated positron trapping:  $[V] > 10^{18} \text{ cm}^{-3}$
- 295 ps seems to indicate  $V_{As}$  rather than  $V_{Ga}$





# Doppler-Koinzidenz-Spektroskopie in GaAs

- chemische Sensitivität bei hohen Elektronenimpulsen (Core-Elektronen)
- ein einzelnes Fremdatom in direkter Umgebung einer Leerstelle ist nachweisbar
- Beispiel:  $V_{\text{Ga}}\text{-Te}_{\text{As}}$  in GaAs:Te

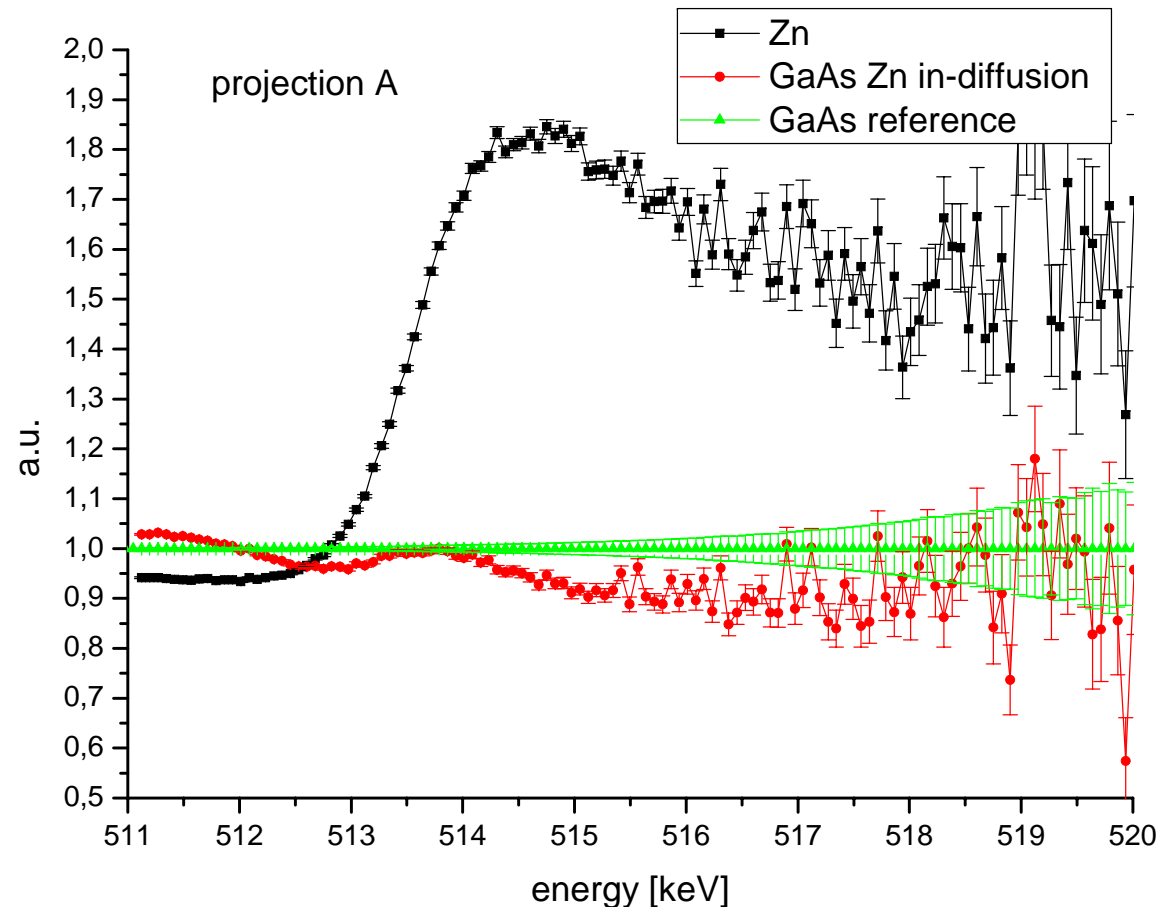


J. Gebauer et al., Phys. Rev. B **60** (1999) 1464



# GaAs:Zn – Doppler Coincidence Spectroscopy

- we performed CDBS measurements at NEPOMUC (FRM-II)
- results need comparison with theoretically calculated spectra



# Cu-Diffusion in GaAs

- Copper is an unintentional impurity in most semiconductors
- Cu diffuses rapidly already at low temperatures
- GaAs: diffusion coefficient  $D = 1.1 \times 10^{-5} \text{ cm}^2 \text{ s}^{-1}$  at  $500^\circ\text{C}$  [1]
- Cu diffuses very fast by interstitial diffusion (kick-out process) [2]
- The solubility between  $2 \times 10^{16} \text{ cm}^{-3}$  ( $500^\circ\text{C}$ ) and  $7 \times 10^{18} \text{ cm}^{-3}$  ( $1100^\circ\text{C}$ ) [1]
- $\text{Cu}_{\text{Ga}}$  is a double acceptor
- our work: comprehensive positron annihilation study of GaAs after Cu in-diffusion
- Experimental finding: Vacancy clusters decorated with copper will be formed during annealing of GaAs when Cu is introduced by diffusion before.

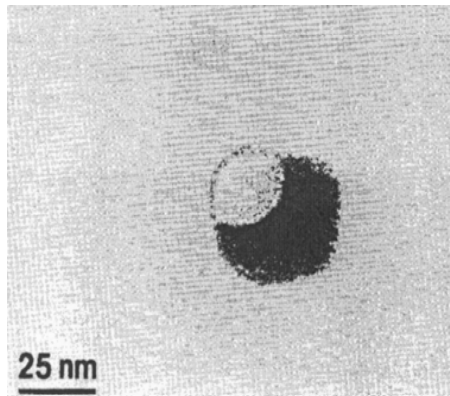
[1] R.N. Hall and J.H. Racette, J. Appl. Phys. 35 (1964) 379.

[2] F.C. Frank and D. Turnball, Phys. Rev. 104 (1956) 617.

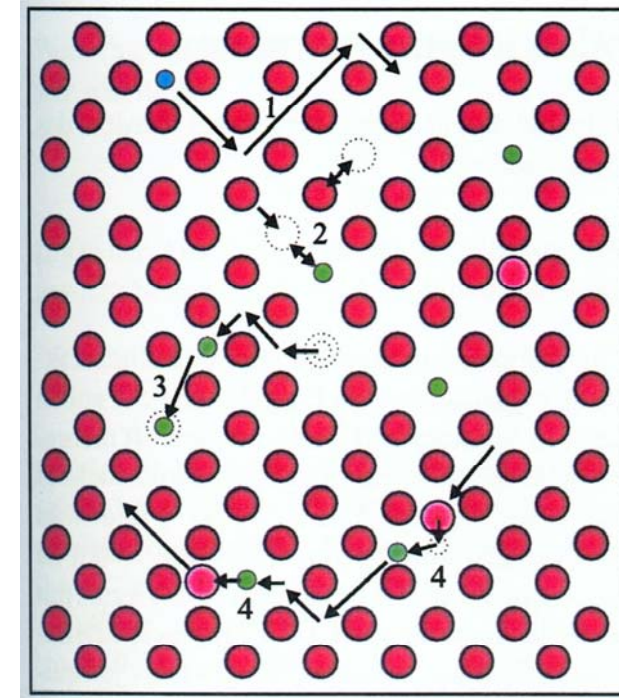


# Literaturergebnisse an GaAs:Zn

- Zn diffundiert via Kick-out Mechanismus
- verdrängt am Ende Ga-Atom: Überschuss an Ga<sub>i</sub>
- diese Ga-Atome bilden Zusatzebenen (Interstitial-Loops)
- dafür sind ebenso viele As-Atome nötig
- kommen aus Gitter, hinterlassen As-Leerstellen
- diese As-Leerstellen bilden Leerstellenagglomerate
- dabei kondensiert überschüssiges Ga zu „flüssigem“ Tropfen in Leerstellencluster



M. Luysberg et al., Mat. Sci. & Eng. B13 (1992) 137-151



1. direkter Zwischengittermechanismus
2. Leerstellenmechanismus
3. Frank-Turnbull-Mechanismus
4. Kick-out-Mechanismus



# Literaturergebnisse an GaAs:Zn

- Modellvorstellung der Bildung von  $V_{As}$ -Clustern

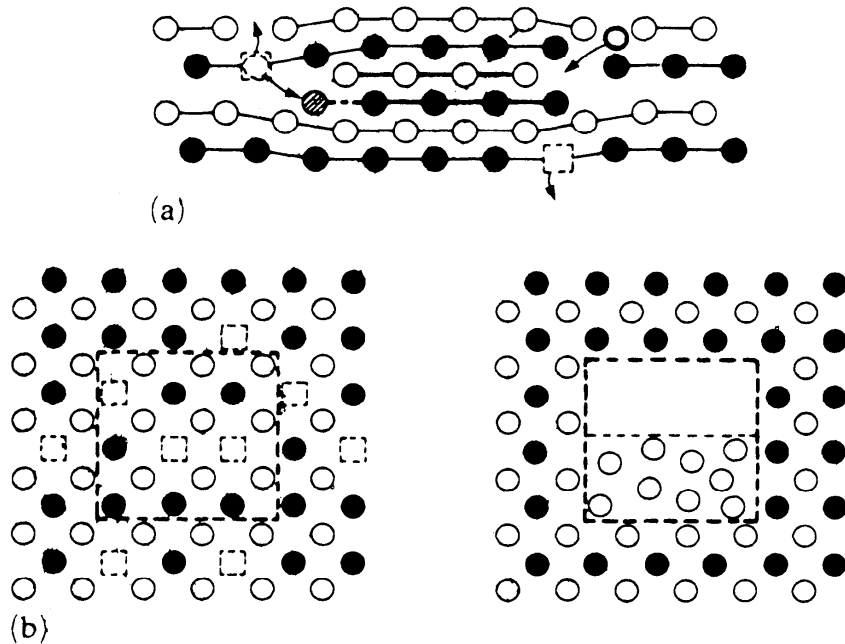


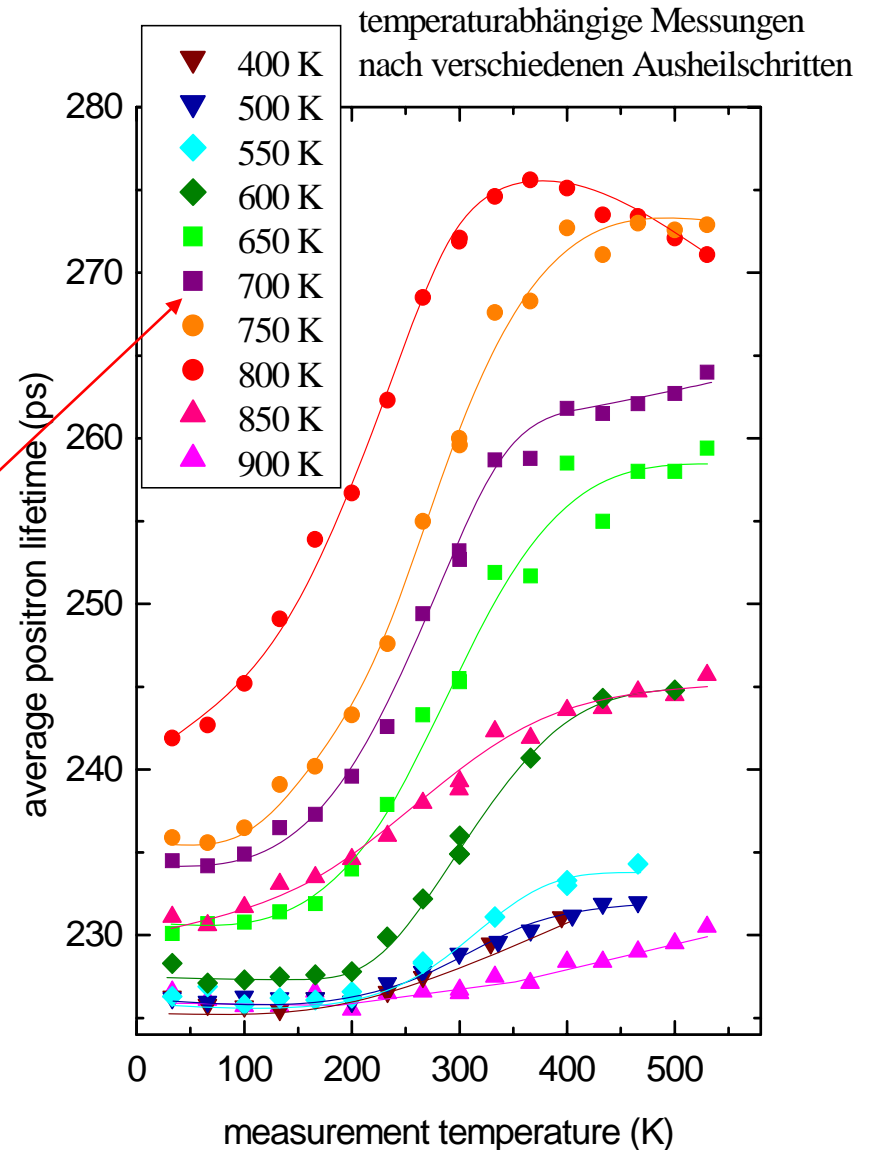
Fig. 12. Model for defect formation in the front region ( $\circ$ , gallium atoms;  $\bullet$ , arsenic atoms): (a) the supersaturation of  $I_{Ga}$  ( $\circ$ ) caused by the incorporation of zinc atoms results in the formation of perfect interstitial dislocation loops; stoichiometry is preserved by emission of  $V_{As}$  ( $\square$ ) at the periphery of growing loops; (b) mobile  $V_{As}$  ( $\square$ ) agglomerate and finally collapse into voids by occupying all arsenic lattice sites; the voids are half-filled with gallium ( $\circ$ ) and may be filled with further gallium atoms produced by the interstitial-substitutional exchange of zinc.



# GaAs:Cu

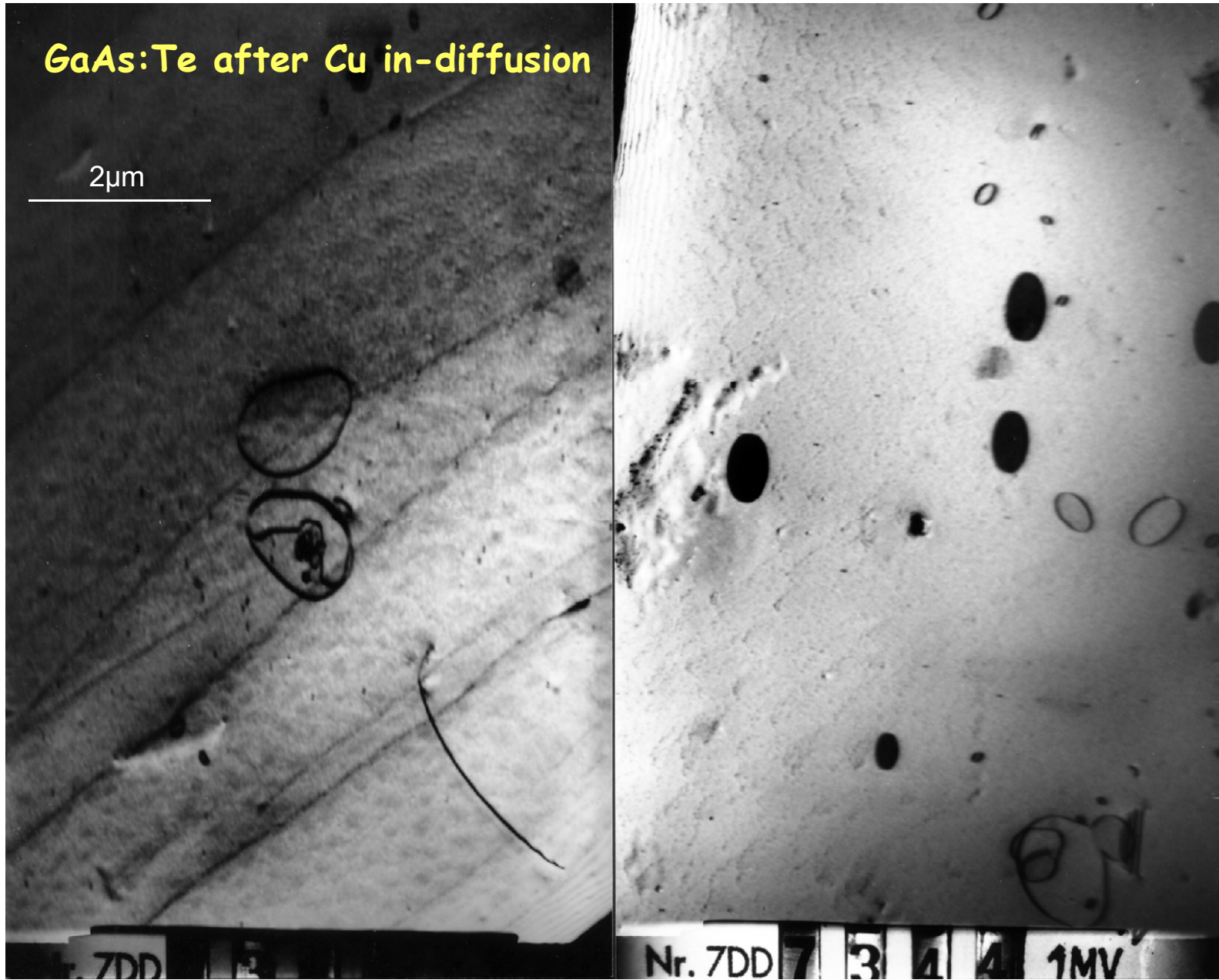
- auch in GaAs:Cu haben wir sowohl die Interstitial Loops als auch Leerstellenagglomerate gefunden (Kooperation Dr. Leipner)
- Vermutung: ähnliche Verhältnisse wie bei Zn-Diffusion
- Experiment mit Positronen:
  1. 30 nm Cu-Schicht aufgedampft
  2. Temperung bei 1100°C (unter As-Druck)
  3. Abschrecken zu RT
  4. Anlassen zu verschiedenen Temp.
  5. Positronenmessung
- Cu ist bei RT übersättigt, beginnt Ausscheidung
- Ergebnis der PAS: Bildung von leerstellenartigen Defekten bei erneuter Cu-Diffusion

GaAs undot. mit  $6 \times 10^{18}$  Cu; abgeschreckt



GaAs:Te after Cu in-diffusion

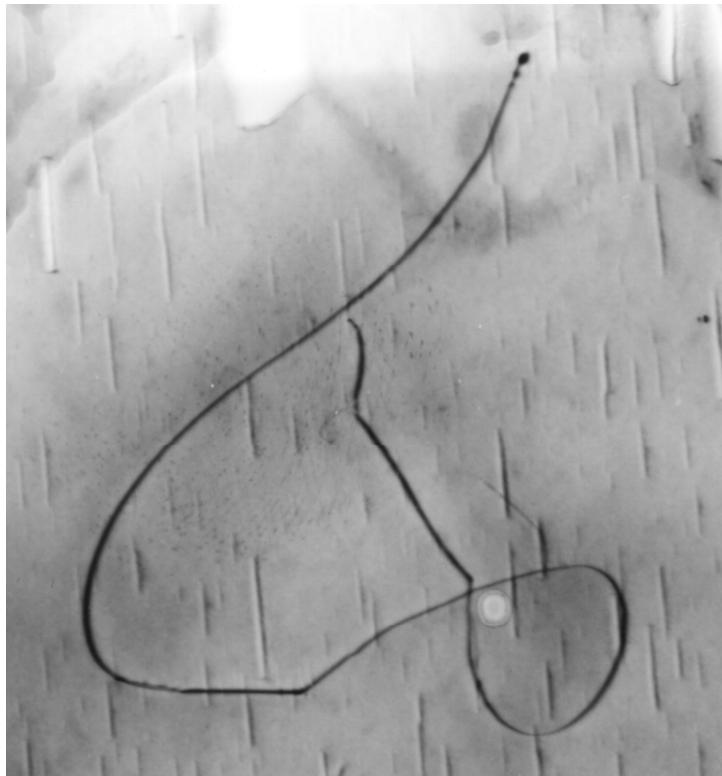
2 $\mu$ m



Leipner (1999)

# Leerstellencluster in Cu-diffundiertem GaAs:Te

- Probenzustand: GaAs:Te; 30 nm Cu-Schicht (entspricht  $5 \times 10^{17} \text{ cm}^{-3}$ ); bei 600 K getempert nach Abschrecken von  $1100^\circ\text{C}$  zu RT
- Leerstellencluster im TEM: Durchmesser ca. 100 nm



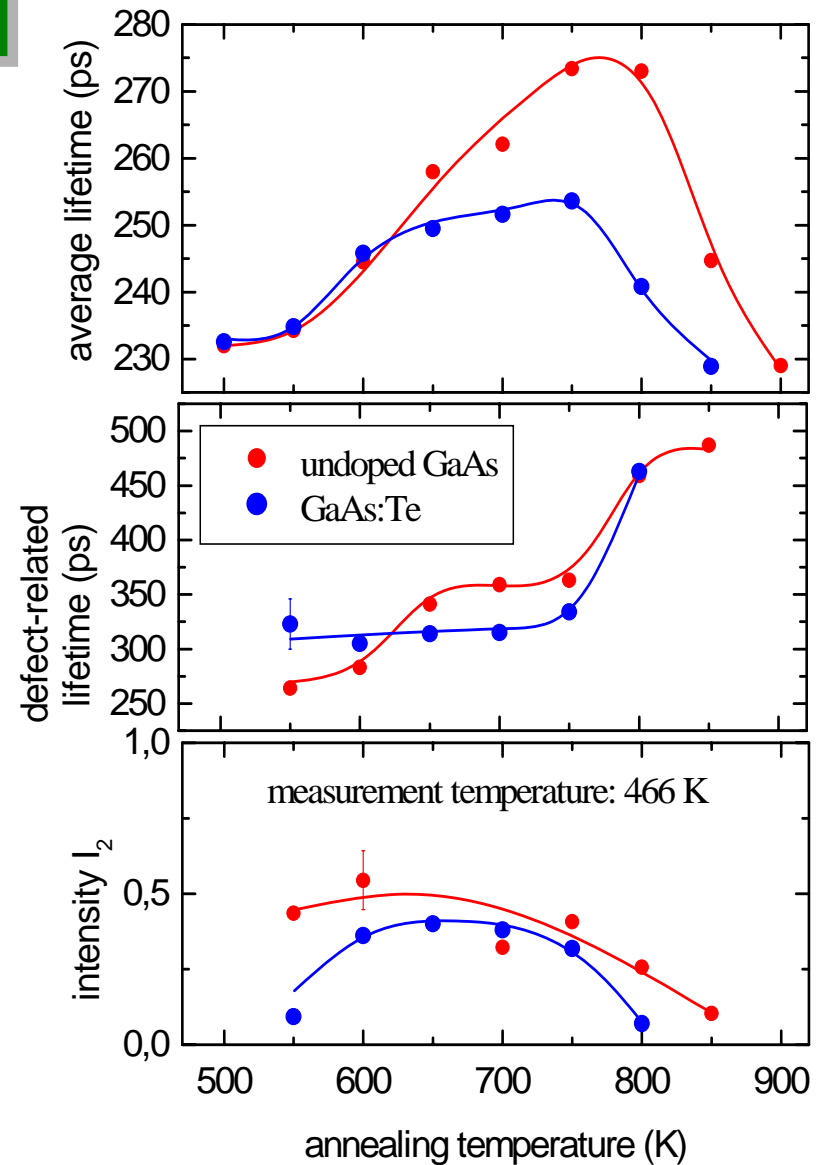
(Aufnahmen: Leipner 1999)





# Bestimmung des Defekttyps

- Bildung dieser Cluster ist unabhängig von n-Dotierung (Te)
- zunächst ist LD bei ca. 250 ps (Einzelvakananz)
- bei Temperung wird LD größer: 320-350 ps entspricht etwa Doppelvakananz
- bei 800 K:  $\tau_2 > 450$  ps: große Leerstellen-Agglomerate ( $n > 10$ )



# Zusammenfassung

- Bei Cu-Diffusion entstehen Leerstellen und Leerstellen-Agglomerate, die mit Cu dekoriert sind
- sind relativ klein ( $n = 1 \dots 10$  bei Temperung unter 800 K)
- mit TEM zusätzlich: sehr große Leerstellencluster (100 nm Durchmesser)
- zusätzliche Untersuchungen (Positronen, Hall-Messungen, TEM, SIMS, SAXS)
  - Bilden sich große Cluster bereits beim Abkühlen?
  - Theoretische Rechnungen: Wie viel Cu-Atome sind an Cluster?
  - Wie verhält sich Cu in anderen III-V-Verbindungen?
  - Bilden andere „Kick-out“-Elemente ebenfalls kleine Leerstellencluster-Fremdatom-Paare?
  - Wie wirken sich diese Defekte auf die Diffusionsmechanismen aus?

